

## К ОПРЕДЕЛЕНИЮ ЧАСТОТ НЕОДНОРОДНОЙ БАЛКИ

Мовсисян Л.А.

Լ.Ա.Մովսիսյան

Աճամասեղ հեծանի հաճախությունների որոշման մասին

Տրվում է կամայական անհամաստության ազատ հենված հեծանի սեփական հաճախությունները որոշելու եղանակ: Քննարկվում է հաճախությունների վարքը. երբ անհամաստությունը պատահական ֆունկցիա է: Բերված է հակադարձ խնդրի օրինակ՝ տրված հաճախություններով որոշել անհամաստության վարքը:

L.A.Movsisyan

To determination of frequency of nonhomogeneous beam

Дается способ определения собственных частот шарнирно опертых балок произвольной неоднородности. Изучается характер изменения частот в случае, когда неоднородность является случайной функцией. Приведен пример обратной задачи, когда по частотам можно определить неоднородность.

1. Рассмотрим прямолинейную балку из неоднородного материала (неоднородность может быть как непрерывной, так и разрывной составной). Поперечное сечение и неоднородность симметричны относительно плоскости изгиба ( $xz$ ).

Уравнение свободных продольно-изгибных колебаний приведен с учетом поперечных сдвигов, то есть перемещение по оси балки и перпендикулярного к ней направлениях представляется

$$u_x = x(x, t) + zu_t(x, t), \quad u_z = w(x, t) \quad (1.1)$$

тогда, принимая, что характеристика упругости и плотность можно представить в виде сумм четных и нечетных функций относительно  $z$ , для уравнений свободных колебаний будем иметь

$$\begin{aligned} \frac{\partial T}{\partial x} &= I_1 \frac{\partial^2 u}{\partial t^2} + I_2 \frac{\partial^2 u_t}{\partial t^2}, \quad \frac{\partial Q}{\partial x} = I_1 \frac{\partial^2 w}{\partial t^2} \\ \frac{\partial M}{\partial x} &= Q + I_2 \frac{\partial^2 u}{\partial t^2} + I_3 \frac{\partial^2 u_t}{\partial t^2} \end{aligned} \quad (1.2)$$

где

$$T = J_1 \varepsilon + J_2 \chi, \quad M = J_2 \varepsilon + J_3 \chi, \quad Q = K^2 J_4 \gamma$$

$$J_1 = \int_F E_0 dF, \quad J_2 = \int_F E_0 z dF, \quad J_3 = \int_F E_0 z^2 dF \quad (1.3)$$

$$J_4 = \int_F G_0 dF, \quad I_1 = \int_F \rho_0 dF, \quad I_2 = \int_F \rho_0 z dF, \quad I_3 = \int_F \rho_0 z^2 dF$$

Коэффициент  $K$  подбирается, исходя из формы поперечного сечения балки  $a$

$$\varepsilon = \frac{\partial u}{\partial x}, \quad \chi = \frac{\partial u_1}{\partial x}, \quad \gamma = u_1 + \frac{\partial w}{\partial x} \quad (1.4)$$

В частности, для балки прямоугольного сечения  $(1 \times h)$ , которая по длине состоит из  $n$  столбиков, длина  $k$ -того  $-l_k - l_{k-1}$  ( $l_0 = 0$ ,  $l_n = l$ ), а в каждом столбике находится  $p_k$  кирпичиков со своими постоянными  $E_k^{(\alpha)}$ ,  $\rho_k^{(\alpha)}$  ( $\alpha = 1, 2, \dots, p_k$ ) и толщинами  $h_k^{(\alpha)}$  функции  $J_j(x)$  и  $I_j(x)$  определяются формулами

$$J_j(x) = \sum_{k=1}^n J_k^{(j)} L_k(x), \quad J_k^{(j)} = \int_{-\frac{h_k}{2}}^{\frac{h_k}{2}} E_k^{(\alpha)} z^{j-1} dz, \quad j = 1, 2, 3$$

$$J_k^{(4)} = \sum_{\alpha=1}^{p_k} G_{\alpha k}^{(\alpha)}, h_k^{(\alpha)} \quad I_j(x) = \sum_{k=1}^n I_k^{(j)} L_k(x), \quad I_k^{(j)} = \int_{-\frac{h_k}{2}}^{\frac{h_k}{2}} \rho_k^{(\alpha)} z^{j-1} dz$$

$$L_k(x) = H(x - l_{k-1}) - H(x - l_k), \quad H(x) - \text{функция Хевисайда.}$$

В дальнейшем будут рассмотрены частные задачи.

2. Если неоднородность балки только по длине и к тому же не быстро изменяющаяся функция, то можно пользоваться классической теорией  $\left(u_1 = -\frac{\partial w}{\partial x}\right)$  и при этом учитывать, что уравнения продольных и поперечных движений распадаются.

Для изгибных колебаний будем иметь

$$\frac{\partial^2}{\partial x^2} \left[ E_0 J \frac{\partial^2 w}{\partial x^2} \right] + \rho_0 F \frac{\partial^2 w}{\partial t^2} = 0, \quad (J_1 = E_0 J, I_1 = \rho_0 F) \quad (2.1)$$

Заметим только, что в общем случае решение можно построить таким же образом, как и для (2.1).

Для балки с шарниро-опертыми концами решение (2.1) будем искать в виде

$$w = e^{i\omega t} \sum_{m=1}^{\infty} f_m \sin \lambda_m x, \quad \lambda_m = \frac{m\pi}{l} \quad (2.2)$$

Тогда, представляя функции  $E_0(x)$  и  $\rho_0(x)$  также в виде рядов [1,2]

$$E_0(x) = \sum_{m=0}^{\infty} \alpha_m \cos \lambda_m x, \quad \rho_0(x) = \sum_{m=0}^{\infty} b_m \cos \lambda_m x \quad (2.3)$$

и подставляя (2.2) и (2.3) в (2.1), для определения частот получим систему относительно

$$[(2\alpha_0 - \alpha_{2m})m^4 - \Omega(2b_0 - b_{2m})]f_m + \sum_{q=1, q \neq m}^{\infty} [(\alpha_{m+q} - \alpha_{m-q})m^2 q^2 - \Omega(m_{m+q} - b_{m-q})]f_q = 0 \quad (2.4)$$

где

$$\Omega = \frac{\omega^2 F l^4}{\pi^4 J}$$

Частоты определяются из равенства нулю детерминанта системы (2.4).

В случае постоянной плотности ( $b_0 \neq 0, b_m = 0, m = 1, 2, \dots$ ) можно показать, что определитель системы (2.4) - нормальный [3]. Для этого обозначим  $\varphi_m = m^2 f_m$  и условие разрешимости (2.4) запишем

$$\det |\delta_{mq} - c_{mq}| = 0, \quad \delta_{mq} = \begin{cases} 1, & \text{при } m = q \\ 0, & \text{при } m \neq q \end{cases} \quad (2.5)$$

$$c_{mm} = \frac{2b_0\Omega}{(2a_0 - a_{2m})m^4}, \quad c_{mq} = \frac{(a_{m-q} - a_{m+q})}{m^2(2a_0 - a_{2m})}$$

Принимая, что  $a_m$  имеют порядок хотя бы  $m^{-1}$ , представим двойной ряд

$$\sum_{m,q} |c_{mq}| = \sum_{m=1}^{\infty} |c_{mm}| + \sum_{m \neq q, m \neq q} |c_{mq}| < C_1 \sum_{m=1}^{\infty} \left| \frac{1}{m^3(m-\beta)} \right| + C_2 \sum_{m,q} \left| \frac{1}{m(q^2-m^2)(m-\beta)} \right| \quad (2.6)$$

где  $C_1, C_2$  и  $\beta$  - постоянные.

Так как  $\sum_{q=1}^{\infty} \frac{1}{q^2 - m^2} = \frac{3}{4m^2}$ , то второе слагаемое в (2.6) будет вида первого.

Таким образом, двойной ряд сходится, следовательно, собственные частоты можно определить методом редукции и процесс этот сходится [3].

Между прочим, в пользу предложенного способа определения частот говорит не только то, что он применим в случаях, когда невозможно решение уравнений с переменными коэффициентами, но и то, что часто быстро приводит к желаемым результатам. Например, для составного стержня (продольное колебание) из двух частей -  $l_1, E_1$  и  $l_2, E_2 (\rho_1 = \rho_2)$  первые две частоты, определение из трансцендентного уравнения

$$a_1 \operatorname{tg} \frac{\omega l_1}{a_1} + a_2 \operatorname{tg} \frac{\omega l_2}{a_2} = 0, \quad a_i = \sqrt{\frac{E_i}{\rho}}$$

равны  $\frac{\omega l_1}{a_1} = 0,998; 2,143$  при  $l_2 = 3l_1$ ,  $E_2 = 2,25E_1$ .

А вот частоты, определенные из системы двух уравнений, аналогичной (2.4), соответственно равны  $\frac{\omega l_1}{a_1} = 1,002; 2,202$ , то есть наибольшая разница между точными и приближенными решениями меньше, чем 3%, причем ее можно свести к нулю, увеличивая число привлекаемых уравнений.

В качестве примера рассмотрим случай  $\rho_0 = \text{const}$  из двух материалов, чередующихся один за другим:

$$E_0(x) = \begin{cases} E_1, l_{2(k-1)} \leq x \leq l_{2k}, k = 1, 2, \dots, \frac{n}{2} \\ E_2, l_{2k-1} \leq x \leq l_{2k} n = 2j \end{cases} \quad (2.7)$$

Коэффициенты  $a_m$  определяются как ( $n = 2j$ ,  $j = 1, 2, \dots$ )

$$a_0 = \frac{n}{2l}(E_1 a + E_2 b), \quad a = l_{2k-1} - l_{2k}, \quad b = l_{2k} - l_{2k-1} \quad (2.8)$$

$$a_m = \frac{4}{m\pi}(E_1 - E_2) \sin \frac{m\pi a}{2l} \sum_{p=1}^{\frac{n}{2}} \cos \frac{m\pi}{4l} [(2p-1)a + 2(p-1)b]$$

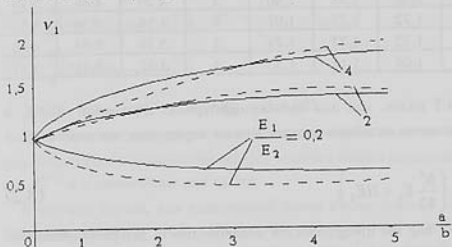
Таблица 1

$\frac{E_1}{E_2}$	0,5	1	1,5	2	2,5	3	3,5	4	4,5	5
$v_j$	0,82 0,87	1 1	1,10 1,12	1,16 1,22	1,21 1,32	1,24 1,41	1,27 1,50	1,29 1,58	1,21 1,66	1,33 1,73
$v_2$	3,40 3,46	4 4	4,45 4,47	4,81 4,90	5,13 5,29	5,41 5,66	5,66 6,00	5,89 6,32	6,10 6,63	6,29 6,93
$v_3$	7,47 7,79	9 9	9,92 10,06	10,57 10,02	11,08 11,91	11,50 12,73	11,86 13,50	12,19 14,23	12,48 14,92	12,76 15,59

В табл. 1 помещены значения первых трех относительных частот  $v_j = (\Omega_j \rho / E)^{1/2}$  при  $a/b = 1$  для различных  $E_1/E_2$ .

Для каждой  $v_j$  в первых строках помещены значения при  $n = 2$ , а во вторых –  $n = 16$  (были вычислены также для случаев  $n = 4; 8; 12$ ). Были взяты определители до десятого порядка для выяснения процесса

сходимости. Из табл. 1 видно, что для  $n = 16$  для приведенных отношений  $E_1 / E_2$  при определении частот можно пользоваться средним значением для модуля упругости, то есть принимать  $E_0(x) = (E_1 + E_2)/2$  (для некоторых  $E_1 / E_2$  это имеет место уже при  $n = 8$  или  $n = 12$ ).



Фиг. 1

На фиг. 1 приведены кривые первой относительной частоты  $v_1$ , в зависимости от  $a/b$  для различных  $E_1 / E_2$ . Сплошные линии соответствуют случаю  $n = 16$ , а пунктируемые —  $n = 2$ .

3. Рассмотрим теперь задачу, когда имеется неоднородность по толщине. Для симметрично собранной трехслойной балки, концы которой шарнирно оперты, частоты с точностью до  $\lambda_m^4$  определяются

$$\omega_{m,1}^2 = \frac{J_1}{I_1} \lambda_m^4 (1 - \Lambda_m), \quad \omega_{m,2}^2 = K^2 \frac{J_4}{I_3} (1 + \Lambda_m) \quad (3.1)$$

$$\Lambda_m = \left( \frac{J_1}{K^2 J_4} + \frac{I_3}{I_1} \right) \lambda_m^2, \quad J_1 = \frac{h_1^3}{12} E_1 + H E_2$$

$$J_4 = K^2 (G_1 h_1 + 2 G_2 h_2), \quad I_1 = \rho_1 h_1 + 2 \rho_2 h_2, \quad I_3 = \rho_1 \frac{h_1^3}{12} + \rho_2 H$$

$$H = \frac{1}{6} (4h_2^3 + 6h_2^2 h_1 + 3h_2 h_1^2), \quad h = h_1 + 2h_2$$

В табл. 2 приведены значения  $\frac{12I^2\Lambda_1}{\pi^2 h^2}$  при  $K^2 = 1$ ,  $\mu_1 = \mu_2 = 0$ ,  $\rho_1 = \rho_2$  для различных  $h_2/h_1$  и  $E_2/E_1$ .

Таблица 2

$E_2 / E_1$	0	0,01	0,1	1	5	10	100	
$h_2 / h_1$	0,1	2,28	2,29	2,40	3	4,29	4,86	5,74
0,2	1,72	1,75	1,97	3	4,18	4,50	4,87	
0,3	1,32	1,37	1,79	3	3,79	3,94	4,10	
0,4	1,08	1,18	1,53	3	3,37	3,42	3,47	

Из табл.2 видно, как для большого интервала отношений  $E_2 / E_1$  и  $h_2 / h_1$  основную изгибную частоту можно определить по классической теории

$$\omega_1^2 = \frac{\pi^4}{\rho h l^4} \left( \frac{h_1^3}{12} E_1 + H E_2 \right) \quad (3.2)$$

4. До сих пор мы предполагали неоднородность детерминированной. Однако, полученные результаты можно использовать также для случаев, когда неоднородность является случайной функцией. Будем различать два типа неоднородности. В одном случае - неоднородность, которая возникает благодаря наличию в среде разнородных материалов.

Здесь нас будет интересовать неоднородность следующего вида. Известно, многие материалы, кристаллы которых анизотропные [4], в макромасштабе ведут себя как изотропные. Однако, если в исследуемом объекте (например, в балке) имеется всего несколько кристаллов и каждый из них по-разному ориентирован относительно какой-то оси, будем иметь неоднородность - в каждом участке, занимаемом данным кристаллом, будут свои упругие постоянные (таковыми являются, например, стержни-балки из силикона). Так как приводимый в дальнейшем материал носит иллюстративный характер, то по понятным соображениям рассматриваются наиболее простые модели и наиболее простой закон вероятности.

Будем считать, что кристаллы сами ортотропные, а ось балки не совпадает ни с одной из главных направлений упругости, то есть закон Гука в системе главных направлений записывается

$$\varepsilon_i = a_{ij} \sigma_j, \quad \sigma_i = A_{ij} \varepsilon_j \quad (4.1)$$

Если одни из кристаллов при получении балки поворачивались относительно оси  $z$  на некоторый угол  $\varphi_k^{(1)}$ , а другие относительно  $y$  на  $\varphi_k^{(2)}$ , то связь между напряжением и деформацией относительно оси балки ( $x$ ) записывается

$$\varepsilon_i^{(k)} = b_{11}^{(k)} \sigma_i^{(k)}, \quad E_i^{(k)} = \frac{1}{b_{11}^{(k)}}, \quad (i=1,2)$$

При этом

$$b_{11}^{(k)} = A^{(i)} + B^{(i)} \cos 2\varphi_k^{(i)} + C^{(i)} \cos^2 2\varphi_k^{(i)}$$

$$A^{(i)} = \frac{1}{4}(a_{11} + a_{1+i,1+i} + a_3^{(i)}), \quad B^{(i)} = \frac{1}{2}(a_{11} - a_{1+i,1+i})$$

$$C^{(i)} = \frac{1}{4}(a_{11} + a_{1+i,1+i} - a_3^{(i)})$$

$$a_3^{(1)} = 2a_{12} + a_{66}, \quad a_3^{(2)} = 2a_{13} + a_{55}, \quad (i=1,2).$$

Если известны законы распределения случайных величин  $\varphi_i^{(i)}$ , то по формулам преобразования случайных величин можно определить законы для  $E_i^{(k)}$  и в дальнейшем для частот.

В частном случае, для трехслойной балки в классической постановке, или для примера п.2, когда при определении частот можно довольствоваться диагональным приближением ( $\Omega_m = (a_0 - 0,5a_{2m})m^4$ ), частоты есть линейные функции от  $E_1$  и  $E_2$

$$\omega_m^2 = X_1(m)E_1 + X_2(m)E_2 \quad (4.3)$$

Выражение  $X_i(m)$  можно взять из (2.5), (2.8) и (3.2).

Считая, что одни кристаллы поворачивались относительно оси  $Z$  а вторые - относительно оси  $Y$  и для  $\varphi_k^{(i)}$  справедливы законы равномерной плотности, для функции распределения квадрата частоты будем иметь

$$F(\omega^2) = f_1 f_2 \frac{1}{X_1 X_2} S \quad (4.4)$$

$$S = \begin{cases} \frac{1}{2} [\omega^2 - E_1(X_1 + X_2)]^2, & (X_1 + X_2)E_1 < \omega^2 < X_1 E_1 + X_2 E_1 \\ \frac{1}{2} (E_1 - E_2) [2\omega^2 - X_1(E_1 + E_2) - 2X_2 E_1], & X_1 E_1 + X_2 E_2 < \omega^2 < X_1 E_1 + X_2 E_2 \\ X_1 X_2 (E_1 - E_2)(E_2 - E_1) - \frac{1}{2} (\omega^2 - X_1 E_1 - X_2 E_2) \end{cases}$$

$$X_1 E_1 + X_2 E_2 < \omega^2 < X_1 E_1 + X_2 E_2$$

Формула (4.4) получена при определенных предположениях относительно  $E_i$  и  $X_i$ , что видно из выражений неравенств, кривые  $E_k = E_k(\varphi_i)$  заменены ломаными

$$f_i(E_i) = \frac{dF_i}{dE_i}, \quad F_i = \frac{2}{\pi} \left[ \varphi_i^{(0)} \frac{E - E_i}{E_i^+ - E_i^-} + \left( \frac{\pi}{2} - \varphi_i^{(0)} \right) \frac{E - E_i^-}{E_i^+ - E_i^-} \right] \quad (4.5)$$

$$E_i = E_i(\varphi_i = 0), \quad E_i^+ = E_i\left(\varphi_i = \frac{\pi}{2}\right), \quad E_i^- = E_i\left(\varphi_i = \varphi_i^{(0)}\right).$$

$\varphi_i^{(0)}$  - точка стационарности.

Для "однослоиной" балки из односторонних кристаллов, каждый из которых на  $\varphi_1$  перевернут относительно  $z$  и  $\varphi_1$  относительно новой оси  $y'$  коэффициент  $b_{11}$  будет

$$b_{11} = A + B \cos 2\varphi_2 + C \cos^2 2\varphi_2 \quad (4.6)$$

здесь

$$A = \frac{1}{4} [(A_1 + a_{11} + 2D + \Phi) + (B_1 + 2K + F) \cos 2\varphi_1 + C_1 \cos^2 2\varphi_1]$$

$$B = \frac{1}{2} [(A_1 - a_{11}) + B_1 \cos 2\varphi_1 + C_1 \cos^2 2\varphi_1]$$

$$C = \frac{1}{4} [(A_1 + a_{11} - 2D - \Phi) + (B_1 + 2K - F) \cos 2\varphi_1 + C_1 \cos^2 2\varphi_1]$$

$$D = \frac{1}{2} (a_{11} + a_{21}), \quad K = \frac{1}{2} (a_{11} - a_{21})$$

$$\Phi = \frac{1}{2} (a_{44} + a_{55}), \quad F = \frac{1}{2} (a_{55} - a_{44})$$

Определяя стационарные точки поверхности  $E(\varphi_1, \varphi_2)$  при определении вероятностных характеристик  $E$  по заданным законам относительно  $\varphi_i$  здесь поверхность заменяется "пирамидой".

В качестве примера взят материал силикона с данными  $c_{11} = 166 GPa$ ,  $C_{12} = 63,8 GPa$ ,  $C_{44} = 79,5 GPa$

$$A_{11} = \frac{C_{11} + C_{12}}{(C_{11} - C_{12})(C_{11} + 2C_{12})}; \quad A_{12} = \frac{C_{12}}{(C_{11} - C_{12})(C_{11} + 2C_{12})}, \quad A_{44} = \frac{1}{C_{44}} \quad (4.7)$$

Расчеты дают  $E_1 = E_{\min} = 130,6 GPa$  (при  $\varphi_1 = \varphi_2 = 0$ ),

$$E_2 = 169,8 GPa \left( \varphi_1 = \frac{\pi}{4}, \varphi_2 = 0 \right), \quad E_{\max} = 187,2 GPa = E_3,$$

$$\left( \varphi_1 = \frac{\pi}{4}, \varphi_2 = 0,6158 \right), \quad \langle E \rangle = 154,5 GPa.$$

Между прочим, среднее значение  $E$ , вычисленное здесь, мало отличается от вычисленных по формулам Фойгта  $165,9 GPa$  и Ройсса  $154,87 GPa$ .

Для законов равномерных плотностей для  $\varphi_1$  и  $\varphi_2$  функция распределения для  $E$  (то же и для  $\omega^2$ ) будет

$$F(E) = \begin{cases} \frac{(E - E_1)^2}{(E_2 - E_1)(E_3 - E_1)}, & E_1 \leq E \leq E_2 \\ 1 - \frac{(E_3 - E)^2}{(E_3 - E_1)(E_1 - E_1)}, & E_2 \leq E \leq E_3 \end{cases} \quad (4.8)$$

В последних примерах вопрос должен быть поставлен следующим образом. Какова вероятность, чтобы  $\omega^2$  (или  $\omega$ ) находился в требуемом интервале?

Расчеты показывают, что вероятность того, чтобы квадрат частоты находился соответственно  $\pm 5\%$ ,  $\pm 10\%$ ,  $\pm 15\%$  от квадрата частоты со средним  $E$ , равны 0,34; 0,68; 0,92, а чтобы частота отличалась от средней  $\pm 5\%$ , равна 0,69.

Кстати, приведенные в п.2 результаты можно использовать также и для решения обратной задачи: по заданным частотам определить неоднородность. Правда, в общем случае неоднородности по решению одной задачи невозможно этого сделать, однако, в частных случаях, например, если по длине неоднородность следующего типа — имеется конечное число интервалов и в каждом из них модуль упругости постоянен, то можно достигнуть цели, имея значения частот, равных по числу неизвестных модулей. В частности, по примеру п.2, по двум частотам можно определить  $E_1$  и  $E_2$ . Если известны  $\omega_1$  и

$\omega_2 \left( \Omega_2 = \frac{\omega_2^2 Fl^4}{\pi^4 J} \right)$ , то  $E_1$  и  $E_2$  в первом приближении определяются

$$E_1 = \frac{1}{17}(\xi + \eta), \quad E_2 = \frac{1}{17}(\xi - \eta) \quad (5.1)$$

$$\xi = \Omega_1 + \Omega_2, \quad \eta = \frac{1}{\zeta} \sqrt{(\Omega_2 - 16\Omega_1)(16\Omega_2 - \Omega_1)}$$

$$\zeta = \frac{2}{\pi} \left[ \frac{\cos \frac{\pi}{4n}(2n-1)}{\cos \frac{\pi}{4n}} + \frac{1}{3} \frac{\cos \frac{3\pi}{4n}(2n-1)}{\cos \frac{3\pi}{4n}} \right]$$

Формулы выведены для случая одинаковых длин участков с различными коэффициентами. В то же время можно их уточнить, беря последующие приближения. Такую же процедуру можно применить также для определения распределения температуры в балке, когда свойство материала изменяется в зависимости от температуры.

Выполнение данной работы поддерживалось американским университетом в Армении.

### ЛИТЕРАТУРА

1. Мовсисян Л.А. Об устойчивости упругой балки при продольном ударе. - Докл. АН АрмССР. 1969, т.49, №3, с.124-130.
2. Мовсисян Л.А. К устойчивости упруго-пластических стержней при ударных нагрузках. - Изв.АН АрмССР. Механика, 1986, т.39, №2, с.15-23.
3. Канторович Л.В., Крылов В.И. Приближенные методы высшего анализа. - М. Л.: Физматгиз. 1962. 708 с.
4. Шермергор Т.Д. Теория упругости микронеоднородных сред. - М: Наука, 1977. 400с.

Институт механики НАН РА

Поступила в редакцию

26.10.1994